

## 반복 그린함수 방법을 이용한 평행도파관 H평면 T접합의 전자파 해석

Iterative Green's function analysis of an H-plane T-junction in a parallel-plate waveguide

### 조용희

목원대학교 정보통신전파공학부

Cho Yong-Heui

Division of Information Communication &  
Radio Engineering, Mokwon University

### 요약

평행도파관 H평면 T접합에 대한 전자파 산란해를 이론적으로 구한다. 반복법과 그린함수 관계식을 이용하여  $E_z$ 에 대한 반복 방정식을 얻는다. 이 반복 방정식은 행렬로 표현될 수 있다. 반사 전력과 투과 전력에 대한 산란특성을 제시하고 다른 결과들과 비교한다.

### Abstract

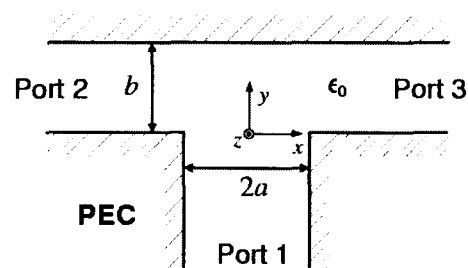
Scattering solutions of an H-plane T-junction in a parallel-plate waveguide are theoretically investigated. The iterative procedure and Green's function relation are used to obtain the iterative equations for the  $E_z$  field modal coefficients, thus resulting in matrix solutions. The scattering characteristics of reflection and transmission powers are presented and compared with other existing results.

## I. 서론

도파관(waveguide) T접합은 결합기(coupler), 여파기(filter), 다중화기(multiplexer), 전력분배기(power divider)와 같은 부품을 구성하는 기본소자이다[1-4]. [4]에서는 T접합이 다중 개구 결합기(multi-aperture coupler)의 중요한 구성소자로 사용되었다. H평면 T접합에 대한 엄밀한 급수해가 푸리에 변환(Fourier transform)과 유수정리(residue theorem)를 이용해 얻어졌다[3]. 본 논문에서는 [5, 6]에 사용된 방법과 동일한 기법을 H평면 T접합에 적용한다. 반복법(iterative procedure)과 그린함수(Green's function)를 이용하여 H평면 T접합에 대한 엄밀하면서도 간단한 산란해(scattering solution)를 구한다. 반복 그린함수 방법으로 얻어진 산란해는 푸리에 변환 방법[3], 모드정합법(mode-matching method)[4]에서 얻어진 해와는 다르다. 또한, 반복법[7, 8]이 도파관(waveguide)과 공진기(cavity) 문제에도 적용되었다.

## II. 필드(field) 해석

평행판 도파관(parallel-plate waveguide)에 구성된 H평면 T접합의 구조는 그림 1에 있다. 도파관 접합을 향해 포트(port) 1과 2에서 TE(Transverse Electric)파가 입사한다.



▶▶ 그림 1. H평면 T접합의 구조

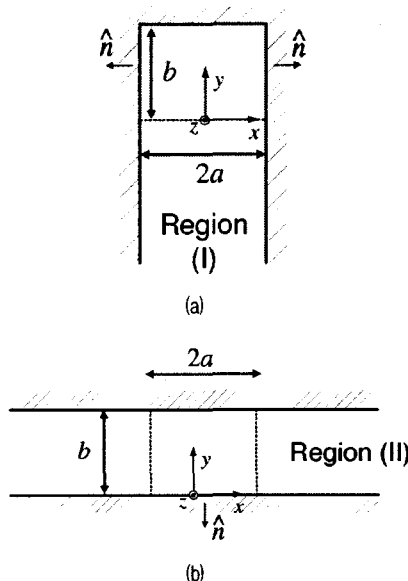
$e^{-i\omega t}$  시간요소는 생략한다. 영역 (I)( $-a < x < a$ ,  $y < b$ )과 (II)( $0 < y < b$ )에서 입사하는  $E_z$  파를

표현하면

$$E_0^I(x, y) = I_s^0 \sin a_s(x + a) [e^{i\xi_s y} - e^{i\xi_s(2b-y)}] \quad (1)$$

$$E_0^{II}(x, y) = J_s^{-0} \sin(b_s y) e^{i\xi_s(x+a)} \quad (2)$$

여기서  $a_s = s\pi/(2a)$ ,  $\xi_s = \sqrt{k_0^2 - a_s^2}$ ,  $b_s = s\pi/b$ ,  $\zeta_s = \sqrt{k_0^2 - b_s^2}$ ,  $k_0 = \omega\sqrt{\mu_0\varepsilon_0}$ .  $I_s^0$  와  $J_s^{-0}$  는 포트 1과 2에서 입사하는  $E_z$  파의 모드(mode) 계수이다. 그림 1의 구조는 그림 2(a)와 2(b) 구조들의 선형 중첩(superposition)이라고 생각할 수 있다. 반복법에서는  $E_{n-1}^I(x, y)$  파동이  $E_n^{II}(x, y)$  파를 생성하고  $E_n^{II}(x, y)$  파동이  $E_n^I(x, y)$  파를 생성한다. 이런 과정을 연속적으로 반복하면 H평면 T접합에 대한 산란해를 얻을 수 있다. 위에서 소개한 반복법을 이용해 전체 파동(total fields)을 표현하면



▶▶ 그림 2. T접합의 세부영역들

$$E_z^I(x, y) = E_0^I(x, y) + \sum_{n=1}^{\infty} E_n^I(x, y) \quad (3)$$

$$E_z^{II}(x, y) = E_0^{II}(x, y) + \sum_{n=1}^{\infty} E_n^{II}(x, y) \quad (4)$$

[9]에서 주어진 그린함수를 이용하면

$$\begin{aligned} E_n^{II}(x, y) &= i\omega \bar{A} \Big|_{z \text{ component}} \\ &= -i\omega\mu_0 \int \bar{J}(r') G_{II}(r, r') dr' \Big|_{z \text{ component}} \\ &= - \int \frac{\partial}{\partial n'} [E_{n-1}^I(r')] G_{II}(r, r') dr' \quad (5) \end{aligned}$$

$$E_n^I(x, y) = - \int \frac{\partial}{\partial n'} [E_n^{II}(r')] G_I(r, r') dr' \quad (6)$$

$$\bar{J}(r') = \begin{cases} H_y(r') \hat{a}_y \times \hat{n} & \text{for } G_{II}(r, r') \\ H_x(r') \hat{a}_x \times \hat{n} & \text{for } G_I(r, r') \end{cases} \quad (7)$$

여기서  $\bar{A}$ 는 자기 벡터 포텐셜(magnetic vector potential),  $n$ 은 그림 2에서 외부로 향하는 방향,

$$\begin{aligned} G_I(r, r') &= \frac{1}{a} \sum_{m=1}^{\infty} \sin a_m(x+a) \sin a_m(x'+a) \\ &\times \frac{e^{-i\xi_m y} - \sin \xi_m(y-b)}{-\xi_m e^{-i\xi_m b}} \quad (8) \end{aligned}$$

$$\begin{aligned} G_{II}(r, r') &= \frac{2}{b} \sum_{m=1}^{\infty} \sin(b_m y) \sin(b_m y') \\ &\times \frac{e^{i\xi_m|x-x'|}}{-2i\xi_m} \quad (9) \end{aligned}$$

$H_x$ ,  $H_y$ 에 대한 불연속(discontinuity)을 없애기 위하여 반복법을 활용한다. 즉,

$$\begin{aligned} E_n^I(x, y) &= \sum_{m=1}^{\infty} \sin a_m(x+a) \\ &\times [e^{i\xi_m|y|} - e^{i\xi_m(2b-y)}] I_m^n \quad (10) \end{aligned}$$

$$\begin{aligned} E_n^{II}(x, y) &= \sum_{m=1}^{\infty} \sin(b_m y) \\ &\times [e^{i\xi_m|x+a|} J_m^{-n} - e^{i\xi_m|x-a|} J_m^{+n}] \quad (11) \end{aligned}$$

여기서  $n = 1, 2, \dots$ ,

$$\begin{aligned} I_m^n &= \frac{i}{2\xi_m a} \int_{-a}^a \sin a_m(x' + a) \frac{\partial}{\partial y'} E_n^{II}(x', 0) dx' \\ &= \frac{ia_m}{2\xi_m a} \sum_{v=1}^{\infty} \frac{b_v [(-1)^m e^{i2\zeta_v a} - 1]}{\zeta_v^2 - a_m^2} \\ &\times [J_v^{-n} + (-1)^m J_v^{+n}] \end{aligned} \quad (12)$$

$$\begin{aligned} J_m^{\pm n} &= \frac{i}{\zeta_m b} \int_0^b \sin(b_m y') \frac{\partial}{\partial x'} E_{n-1}^I(\pm a, y') dy' \\ &= \frac{ib_m}{\zeta_m b} \sum_{v=1}^{\infty} \frac{(-1)^v a_v (e^{i2\zeta_v b} - 1)}{\zeta_v^2 - b_m^2} I_v^{n-1} \end{aligned} \quad (13)$$

(12)와 (13)에 행렬 대수(matrix algebra)를 도입하면

$$[I_m^n] = [A_{mv}] [J_v^{-n}] + [(-1)^m A_{mv}] [J_v^{+n}] \quad (14)$$

$$[J_m^{\pm n}] = [(\mp 1)^v B_{mv}] [I_v^{n-1}] \quad (15)$$

여기서

$$A_{mv} = \frac{ia_m b_v [(-1)^m e^{i2\zeta_v a} - 1]}{2\xi_m a (\zeta_v^2 - a_m^2)} \quad (16)$$

$$B_{mv} = \frac{ib_m a_v (e^{i2\zeta_v b} - 1)}{\zeta_m b (\zeta_v^2 - b_m^2)} \quad (17)$$

$[I_m^n]$  과  $[J_m^{\pm n}]$ 에 대한 연립방정식을 풀면

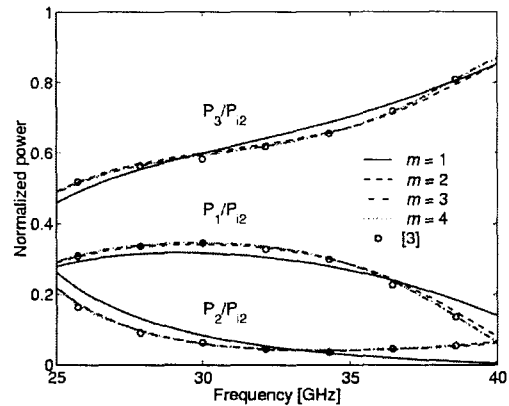
$$\begin{aligned} [I_m] &= \left\{ \mathbf{I} - [C_{ml}] \right\}^{-1} \\ &\cdot \left\{ [C_{ml}] [I_l^0] + [A_{ml}] [J_l^{-0}] \right\} \end{aligned} \quad (18)$$

$$\begin{aligned} [J_m^{\pm}] &= [(\mp 1)^v B_{ml}] \left\{ \mathbf{I} - [C_{ml}] \right\}^{-1} \\ &\cdot \left\{ [I_l^0] + [A_{ml}] [J_l^{-0}] \right\} \end{aligned} \quad (19)$$

여기서  $I_m = \sum_{n=1}^{\infty} I_m^n$ ,  $J_m^{\pm} = \sum_{n=1}^{\infty} J_m^{\pm n}$ ,  $\mathbf{I}$ 는 단위행렬(unit matrix),

$$C_{ml} = [1 + (-1)^{m+l}] \sum_{v=1}^{\infty} A_{mv} B_{vl} \quad (20)$$

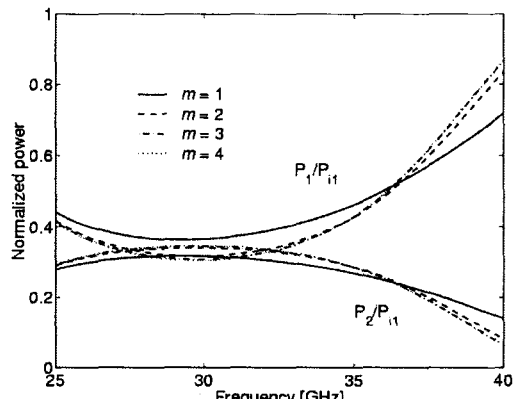
### III. 수치 해석



▶▶ 그림 3. 정규화된 반사전력과 투과전력에 대한 주파수 특성

$$(I_i^0 = 0, J_i^{-0} = 1, a = 3.5mm, b = 7mm)$$

그림 3은 포트 2로 전자파가 입사하는 경우에 대한 H 평면 T접합의 산란 특성을 보여준다.  $m \geq 2$  인 경우, 본 논문에서 제안하는 산란해가 [3]의 결과와 잘 맞는다는 것을 알 수 있다.



▶▶ 그림 4. 정규화된 반사전력과 투과전력에 대한 주파수 특성

$$(I_i^0 = 1, J_i^{-0} = 0, a = 3.5mm, b = 7mm)$$

포트 1으로 입사하는 전자파의 산란해는 그림 4에 제시되어 있다. 그림 4는 본 논문에서 제시된 산란해가 수렴이 빠르고 수치해석적으로 효율적이라는 것을 보여준다.

## ■ 참고문헌 ■

- [1] F. Arndt, I. Ahrens, U. Papziner, U. Wiechmann, and R. Wilkeit, "Optimized E-plane T-junction series power dividers," *IEEE Trans. Microwave Theory Tech.*, vol. 35, no. 11, pp. 1052-1059, Nov. 1987.
- [2] X. P. Liang, K. A. Zaki, and A. E. Atia, "A rigorous three plane mode-matching technique for characterizing waveguide T-junction and its application in multiplexer design," *IEEE Trans. Microwave Theory Tech.*, vol. 39, no. 12, pp. 2138-2147, Dec. 1991.
- [3] K. H. Park and H. J. Eom, "An analytic series solution for H-plane waveguide T-junction," *IEEE Microwave Guided Wave Lett.*, vol. 3, no. 4, pp. 104-106, April 1993.
- [4] T. Sieverding, U. Papziner, and F. Arndt, "Mode-matching CAD of rectangular or circular multiaperture narrow-wall couplers," *IEEE Trans. Microwave Theory Tech.*, vol. 45, no. 7, pp. 1034-1040, July 1997.
- [5] Y. H. Cho, "New iterative equations for E-plane T-junction in parallel-plate waveguide using Green's function," *Microwave Optical Tech. Lett.*, vol. 37, no. 6, pp. 447-449, June 2003.
- [6] 조용희, "전파 교류에 적용할 수 있는 반복 그린함수 방법을 이용한 전자파 도파관 구조의 새로운 해석법," *한국콘텐츠학회 2003 춘계 종합학술대회 논문집*, vol. 1, no. 1, pp. 403-405, 2003년 5월.
- [7] M. F. Iskander and M. A. K. Hamid, "Iterative solutions of waveguide discontinuity problems," *IEEE Trans. Microwave Theory Tech.*, vol. 25, no. 9, pp. 763-768, Sept. 1977.
- [8] J. L. Rodriguez, L. F. Obelleiro, and A. G. Pino, "Iterative solutions of MFIE for computing electromagnetic scattering of large open-ended cavities," *IEE Proc.-Microw. Antennas Propag.*, vol. 144, no. 2, pp. 141-144, April 1997.
- [9] Y. H. Cho and H. J. Eom, "Analysis of a ridge waveguide using overlapping T-blocks," *IEEE Trans. Microwave Theory Tech.*, vol. 50, no. 10, pp. 2368-2373, Oct. 2002.